Objectif de microscope à miroirs concentriques de Schwarzschild

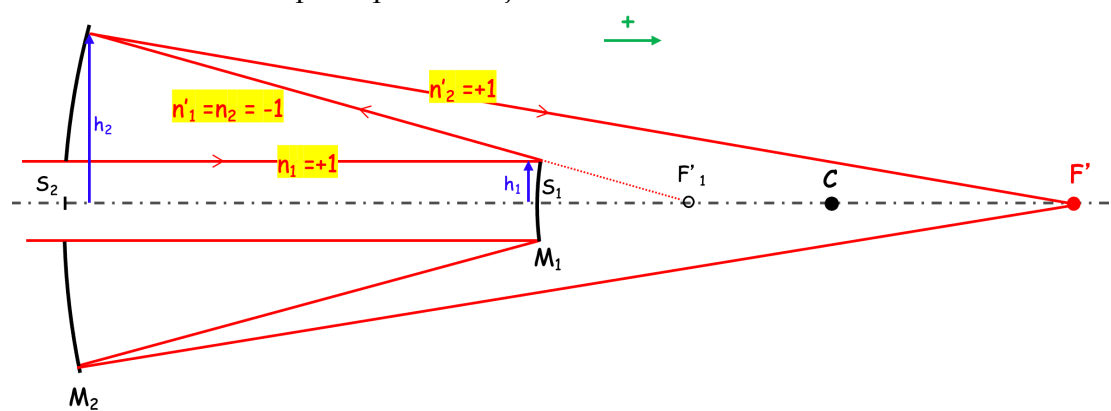
Questions préliminaires-positionnement géométrique

- 1. $z_2 = \overline{S_2 F_1'} = \overline{S_2 C_2} + \overline{C_1 F_1'} = R_2 \frac{R_1}{2} = \frac{R_1 (2 \rho)}{2\rho}$
- 2. Focale de l'ensemble $F' = -g_{y_2} \times F_1'$ à partir de $y' = -f \times \tan \theta$.
- 3. $g_{y_2}=-rac{\overline{S_2F'}}{\overline{S_2F_1'}}$ soit $g_{y_2}=rac{1}{
 ho-1}$ en écrivant la conjugaison $F_1' o F'$ par le miroir M_2 ; $g_{y_2}<0$ et on déduit $F'=rac{R_1}{2(1ho)}$

1. <u>Résolution transver</u>se

- a. Critère de Rayleigh : résolution = rayon de la tache d'Airy \Rightarrow $R_A = 1,22\lambda/(2 \times \alpha_m') = 2,1 \ \mu m$ à $\lambda = 0,588 \ \mu m$.
- b. La RPI en limite de diffraction n'est plus une tache d'Airy, mais une tache qui comporte plus d'énergie dans les anneaux. Ici, graphique tracé avec 20% d'obturation centrale (en surface).

2. Correction de l'aberration sphérique de l'objectif



$$R_1 = \overline{S_1C} > 0$$
 et $R_2 = \overline{S_2C} > 0$

- a. Application du théorème de Gouy $(n_t'\Delta_t' = \sum n_i'\Delta_i')$, en choisissant les indices de part et d'autre des miroirs selon la convention ci-dessus $\Rightarrow \Delta_t' = -\Delta_1'(h_1) + \Delta_2'(h_2)$ avec les hauteurs h_1 et h_2 évaluées sur les rayons paraxiaux sur M_1 et M_2 respectivement.
- b. Pour chacun des miroirs étudié séparément, pour un point objet sur l'axe :
 - conjugaison non-stigmatique (pour un miroir sphérique, seules conjugaisons stigmatiques : C et S)
 - les surfaces d'onde sont déformées par rapport à une sphère ; M_1 : surface d'onde réelle en retard par rapport à une surface de référence paraxiale ; M_2 : surface d'onde réelle en avance \Rightarrow avec la convention de signe choisie, $\Delta_1'(h_1) \ge 0$ et $\Delta_2'(h_2) \ge 0$, et il peut y avoir une compensation de l'aberration sphérique du $3^{\text{ème}}$ ordre :

pour
$$M_1$$
: conjugaison $\infty \to F_1' \Rightarrow -\Delta_1'(h_1) = -\frac{h_1^4}{4 \times R_1^3} \Rightarrow \Delta_1' \ge 0$
pour M_2 : conjugaison $F_1' \to F' \Rightarrow \Delta_2'(h_2) = -\frac{h_2^4}{4 \times R_2} \left(\frac{1}{R_2} - \frac{1}{z_2}\right)^2 \Leftrightarrow \Delta_2'(h_1) = \frac{h_1^4}{4 \times R_1^3} \rho(2 - \rho)^2$
avec $h_2 = h_1 \frac{2z_2}{R_1} \Rightarrow \Delta_2' \ge 0$

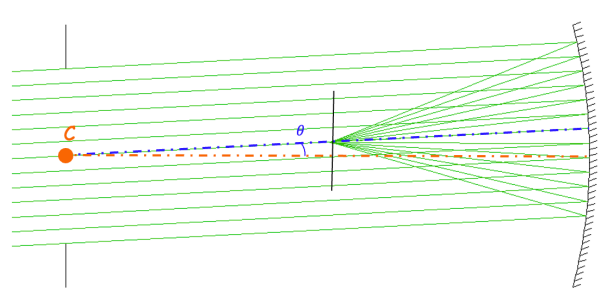
c.
$$\Delta'_t(h_1) = -\Delta'_1(h_1) + \Delta'_2(h_1) = \frac{h_1^4}{4 \times R_1^3} \times (\rho^3 - 4\rho^2 + 4\rho - 1)$$

- d. Racines de $(\rho^3 4\rho^2 + 4\rho 1) = 0$: $\rho = 1, \rho = \frac{3 \pm \sqrt{5}}{2} \Rightarrow$ seule solution possible $\rho = \frac{3 \sqrt{5}}{2} \cong 0.382$
- e. D'après les questions <u>préliminaires</u>, $R_1 = F'(\sqrt{5} 1) \cong 49,4 \, mm$, $R_2 = F'(\sqrt{5} + 1) \cong 129,4 \, mm$. Remarquons que $\overline{CF'} = F'$: les plans principaux H et H' sont confondus avec C pour un système concentrique.

 M_1 est la pupille : $\emptyset_1 = F'/N = 13,3$ mm ; pour laisser passer tous les rayons issus d'un pointobjet sur l'axe, $\emptyset_2 \ge 2h_{2_{max}} = \emptyset_1 \frac{(2-\rho)}{\rho} = 56,5$ mm $\eta \phi$

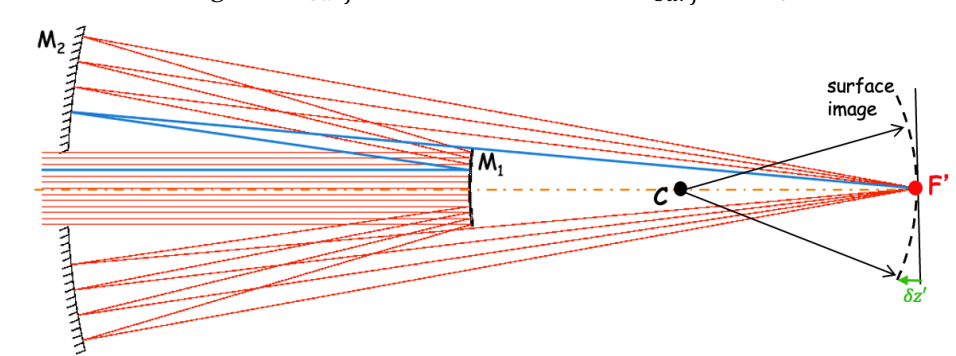
3. Aberrations de champ

a. La pupille d'entrée étant au centre de courbure commun, elle est imagée sur elle-même par chaque miroir. Dans ces conditions, chacun des miroirs est totalement dénué de toute aberration qui n'est pas à symétrie de révolution (cf. cours) : quel que soit le champ θ considéré, le rayon passant par le centre de la pupille constitue un axe de symétrie de la sphère portant le miroir.



Ainsi, le front d'onde aberrant reste à symétrie de révolution (en l'absence de vignettage). En particulier, le système ne présente ni coma ni astigmatisme – à tous les ordres – car aucun des miroirs n'en présente.

- b. Deux approches pour évaluer la courbure de champ (= courbure de la surface image) du microscope :
 - Approche géométrique: le centre de courbure constitue un centre de symétrie du dispositif, l'image se forme à la distance $\overline{CF'} = F'$ quel que soit le champ $\theta \Rightarrow$ le rayon de la surface image est $R_{surf} = -F'$ et la courbure $C'_{surf} = -1/F' = 25 \ m^{-1}$.



• <u>Approche analytique</u>: le système global ne présente pas d'astigmatisme, la courbure de champ est égale à la courbure de Petzval $C'_{surf} = P_t'$, grandeur qui se déduit des contributions individuelles des miroirs $\frac{P_{t'}}{n'_t} = \sum \frac{P_{i'}}{n'_i} \Rightarrow P'_t = -P'_1 + P'_2$. Le Petzvalien (=courbure de Petzval) P'_i de chaque miroir est indépendante de la conjugaison et de la position de la pupille : $P'_i = \frac{2}{R_i} \Rightarrow P'_t = -\frac{2}{R_1} + \frac{2}{R_2} = -\frac{2}{R_1} (1-\rho) = -\frac{1}{F_i}$ dans le cas étudié.

 \Rightarrow défaut de mise au point associé $\delta z' = \frac{|c'_{surf}|}{2} y'^2 = 6 \ \mu \text{m} \ll \text{la profondeur de foyer en limite}$ de diffraction $\lambda/\alpha'_m{}^2 = 21 \ \mu \text{m}$: l'effet de la courbure est négligeable. On peut également évaluer le rayon de la tache de diffusion associé au défaut de mise au point $\delta z' \times \alpha'_m = 1 \ \mu \text{m} < R_{Airy}$

c. L'aberration sphérique ne dépend pas de la position de la pupille : elle reste donc nulle ; la coma ne dépend de la position de la pupille qu'en présence d'aberration sphérique : ici, la

coma du 3^{ème} ordre reste nulle. Mais chaque miroir présente séparément de la coma, qui se compense exactement : à partir de la relation donnée pour l'écart normal de coma d'un miroir portant la pupille, appliquée à M_1 , on trouve $\Delta_1' = \frac{h_1^3}{R_1^2} \tan \theta \times \cos \varphi$ soit $|\Delta_1'|_{max} = 2,1 \ \mu m = |\Delta_2'|_{max}$

d. RPI à symétrie de révolution : RPI D \Rightarrow point objet sur l'axe (rapport de Strehl = 1) ; RPI B : point objet dans le champ